

## ТОПОЛОГИЧЕСКИЕ СВОЙСТВА ГЕОДЕЗИЧЕСКИХ ЗАСЕЧЕК

Методы анализа геодезических построений [2] убедительно свидетельствуют о возможностях применения теории графов в геодезических исследованиях. В данной статье сделана попытка реализовать указанную методику для анализа угловых, линейных и линейно-угловых засечек.

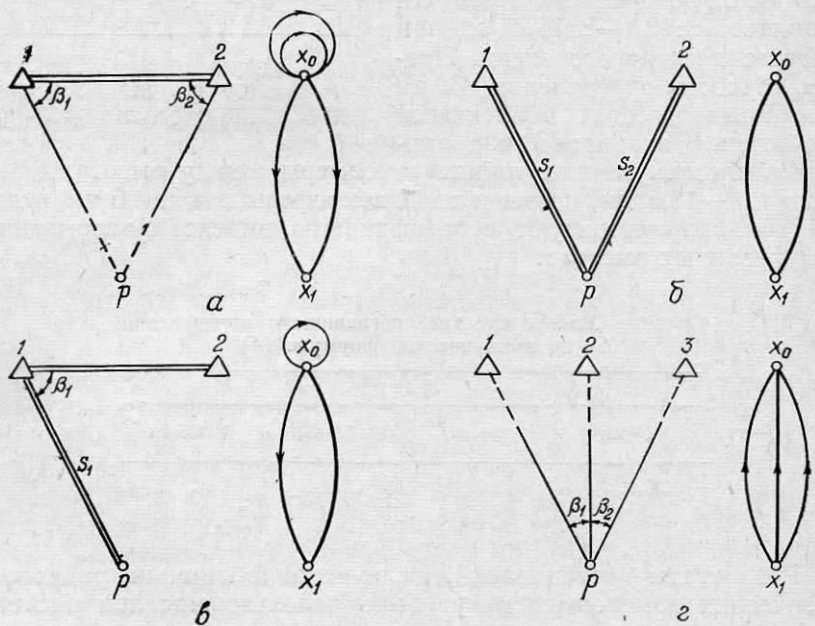


Рис. 1. Схемы геодезических засечек одного пункта и их графы.

Напомним, что графиком геодезической сети  $G = (x, y)$  называют сеть, состоящую из  $(n+1)$  вершин  $x = (x_0, x_i)$ , из которых  $x_0$  объединяют все исходные пункты реальной сети, а  $x_i$  ( $i = 1, 2, \dots, n$ ) соответствуют определяемым, и  $m$  дуг  $y = (x_i, x_j)$ , отображающих геодезические измерения между  $i$  и  $j$  пунктами.

Заметим, что: а) измеренному направлению с  $i$  на  $j$  пункты отвечает дуга  $y = (x_i, x_j)$  со стрелкой, направленной на  $j$  пункты; б) измеренному дирекционному углу линии  $i-j$  — петля  $y = (x_i, x_j)$  и дуга  $y = (x_i, x_j)$ ; в) измеренному расстоянию между  $i$  и  $j$  пунктами — дуга  $y = (x_i, x_j)$  или  $y = (x_j, x_i)$ , что равносильно, поэтому будем показывать такие дуги без стрелок.

Рассмотрим некоторые свойства геодезических засечек, вытекающие из определения графа геодезической сети.

**Свойство 1.** Для определения координат  $n$  пунктов необходимо, чтобы граф геодезической сети  $G = (x, y)$  содержал

$$m \geq 4n - k \quad (1)$$

дуг, где  $k$  — количество общих направлений и измеренных длин линий.

Как известно, для решения геодезической засечки одного пункта достаточно измерить две независимые величины: два угла, два расстояния или угол и расстояние. В любом случае граф  $G = (x, y)$  будет содержать  $(4 - k)$  дуг (рис. 1, а—г). При засечке пары пунктов график будет иметь  $(4 \times 2 - k)$  дуг (рис. 2).

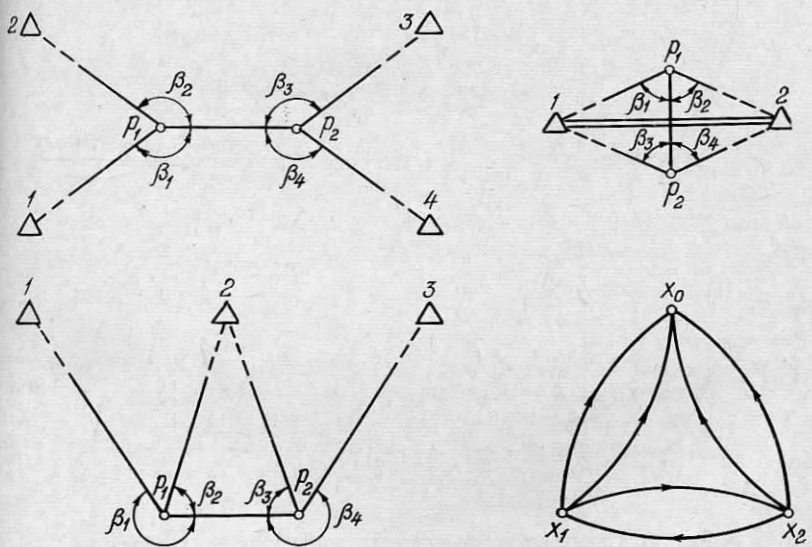


Рис. 2. Схемы обратных угловых засечек пары пунктов и их графы.

Для  $n$  определяемых пунктов достаточное число дуг составит  $(4n - k)$ .

**Свойство 2.** Количество избыточных измерений в геодезической засечке

$$N = m - (4n - k), \quad (2)$$

где  $m$  — общее число дуг графа  $G = (x, y)$ ;  $(4n - k)$  — число дуг, достаточное для решения засечки.

**Свойство 3.** Максимально возможное количество исходных пунктов, объединяемых вершиной  $x_0$  графа  $G = (x, y)$ ,

$$K = \vec{p}(x_0) + \frac{\hat{p}(x_0)}{2} + k, \quad (3)$$

где  $p(x_0)$  и  $p(x_0)$  — полустепени захода и исхода вершины  $x_0$  [3];  $k$  — количество измеренных расстояний между исходными и определяемыми пунктами.

Действительно, каждая из «входящих» в вершину  $x_0$  дуг  $\{p(x_0)\}$  и дуг без стрелок  $\{k\}$  в общем случае отображают измерения на отдельный исходный пункт, а пара «выходящих» из вершин  $x_0$  дуг  $\{p(x_0)\}$  соответствует измеренному углу на исходном пункте.

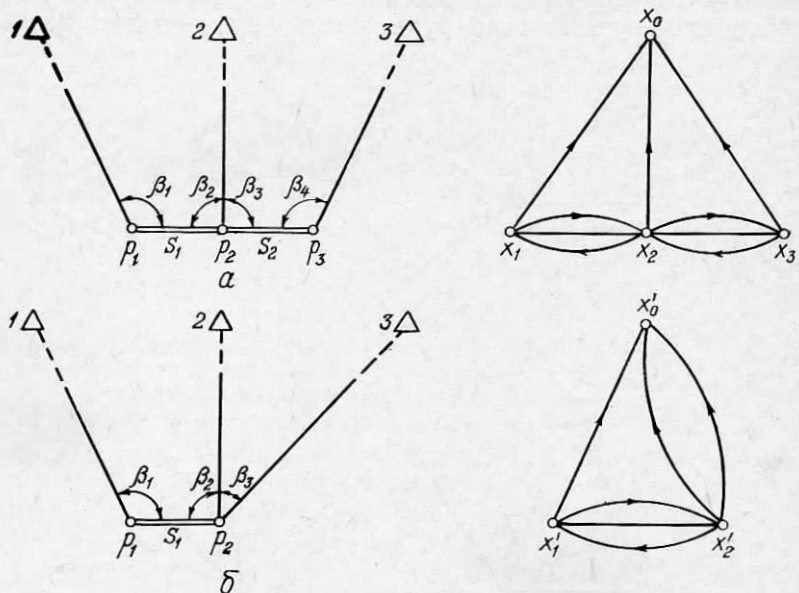


Рис. 3. Схемы линейно-угловых засечек и их графы.

**Свойство 4.** Если графиком  $G = (x, y)$  описываются схемы различных геодезических засечек, то они имеют общее решение.

Предположим, что две схемы засечек описываются одним графиком  $G = (x, y)$ , тогда на исходных и определяемых пунктах произведены одинаковые измерения, поэтому засечки отличаются лишь количеством исходных пунктов. Так как, совмещая исходные пункты, можно трансформировать сеть из одного вида в другой, то, принимая равными координаты совмещенных пунктов, решением общей засечки можно описать и решение другой. Причем засечку, имеющую максимально возможное количество исходных пунктов, будем называть общей.

Так, задачи определения положения пары точек методом обратной угловой засечки описываются одним графиком  $G = (x, y)$  (рис. 2) и имеют общее решение [1].

**Свойство 5.** Если графиком  $G' = (x', y')$  описывается схема геодезической засечки и является субграфом элементарной склейки

вершин  $x_i$  графа  $G = (x, y)$ , соответствующего другой засечке, то они имеют общее решение.

Отметим, что граф  $G' = (x', y')$  получается путем элементарной склейки [3] определяемых вершин  $x_i$  и  $x_j$  графа  $G = (x, y)$  с последующим удалением образовавшихся петель, т. е. дуг  $y = (x_i, x_j)$ . Как видно из рис. 3, граф  $G' = (x', y')$  получен в результате применения описанных действий из графа  $G = (x, y)$ .

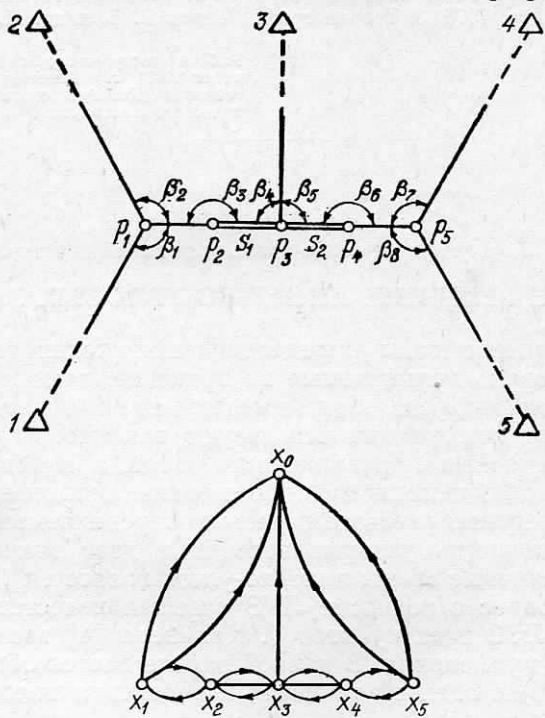


Рис. 4. Схема и график задачи, обобщающей обратные угловые и линейно-угловые засечки.

А при  $\beta_4 = 180^\circ$  и  $s_2 = 0$  обратная линейно-угловая засечка пары пунктов (рис. 3, б) решается по формулам для общей задачи (рис. 3, а).

В результате элементарной склейки вершин  $x'_1$  и  $x'_2$  графа  $G' = (x', y')$  (рис. 3, б) и вершин  $x_1$  и  $x_2$  графа  $G = (x, y)$  (рис. 2), а также удаления образовавшихся петель, получим график (рис. 1, г) задачи Потенота (в последнем случае с одной избыточной дугой, что не противоречит **свойству 1**). Задачу Потенота, которая является как бы промежуточной схемой между обратными угловыми и линейно-угловыми засечками, можно решать по обоим алгоритмам.

Учитывая перечисленные свойства, можно построить график  $G = (x, y)$  и схему задачи, обобщающей обратные угловые и линейно-угловые засечки (рис. 4).

Применение топологических свойств геодезических засечек дает возможность классифицировать засечки, построить все виды засечек, описываемых данным графом, найти общую задачу для данного класса засечек.

**Список литературы:** 1. Баран П. И., Радов С. Г. Общее решение задач определения пары точек методом взаимной обратной засечки. — Геодезия и картография, 1976, № 6. 2. Коробков С. А. Применение теории графов в геодезии. М., Недра, 1976. 3. Теория графов/Белов В. В. и др. М., Высшая школа, 1976.

Работа поступила в редакцию 20 декабря 1977 г. Рекомендована кафедрой геодезии Коммунарского горно-металлургического института.